

XAFSによる(Ca,Sr)-La-Co系M型フェライトの金属イオン のサイト分布解析

Site distribution analysis of metal ions in Ca,Sr-La-CoM-type ferrites by XAFS

小林 義徳^a, 尾田 悅志^a, 西内 武司^a, 広沢 哲^a, 中川 貴^b
Yoshinori Kobayashi^a, Etsushi Oda^a, Takeshi Nishiuchi^a, Satoshi Hirosawa^a,
^bTakashi Nakagawa

^a 日立金属株式会社 磁性材料研究所, ^b 東京工業大学

^aHitachi Metals, Ltd. Magnetic Materials Research Laboratory,
^bTokyo Institute of Technology

近年筆者らはSr-La-Co系M型フェライト磁石のSr全てをCaで置換し、Co置換量を増加させることで世界最高性能のCa-La-Co系M型フェライト磁石の開発に成功した。

磁気特性向上の要因はCo、La、Caを置換したことにより、M型構造の局所構造が変化したためと考えられる。そこで、(Sr,Ca)-La-Co系高性能フェライト磁石の特性向上の要因を解明するため、局所構造解析に有効なXAFS測定を各組成系について行った。

キーワード： Ca-La-Co系、Sr-La-Co系、M型フェライト磁石

背景と研究目的：フェライト磁石は、酸化物を主成分とするためコストパフォーマンスに優れ、自動車の電装用、エアコンなどの家電用のモータに利用される。磁石の重量では国内生産の約8割を占めるほど一般的に使われており、我々の生活に密着した分野で重要な役割を果たしている。永久磁石には、より性能の高いNdFeB磁石に代表される希土類磁石があるが、近年の希土類元素の価格高騰などから、最近はフェライト磁石の価値が再び見直されている。

昨今の地球環境保護の動きから、自動車や家電などには一層の小型・軽量化、省エネルギー化が求められている。その要求を満たすためには小型でエネルギー効率の高いモータが必要で、そのモータの効率は使われる磁石の性能に左右される。しかし、ここ10年ほどで開発されたフェライト磁石の特性はほぼ横ばいで、より飽和磁化が高く、異方性磁界の高いM型フェライト磁石が渴望されていた。

近年当研究グループは、詳細な組成検討により、Sr系M型フェライト($\text{SrFe}_{12}\text{O}_{19}$)のSrの一部をLa、Feの一部をCoなどで置換したSr-La-Co系M型フェライト^[1]と、このフェライトのSrの全てをCaで置換し、Co置換量を増加させることで世界最高性能のCa-La-Co系M型フェライト磁石^[2]の開発に成功した。この高性能化の主要因はJs(飽和磁化)、およびHa(異方性磁界)の大幅な向上である。Sr-La-Co、Ca-La-Co系M型フェライトいずれの系においてもCo置換量とともに異方性磁界は向上する。フェライト磁石のさらなる高性能化のために、Ca-La-Co系M型フェライトの物性値の大幅向上メカニズムを解明することが急務となっている。

先述したLa-Co置換型のフェライト磁石の結晶構造は、Sr系M型フェライトと同様六方晶系のマグネットプランバイト型構造(M型)に属する(図4に結晶構造の模式図を示す)。磁気特性向上の要因はCo、La、Ca等を置換したことにより、M型構造の局所構造が変化したためと考えられる。以上の観点から、(Sr,Ca)-La-Coフェライト磁石の局所構造、特に磁性原子であるCo、Feの結晶中でのサイト分布をXAFSにより解明することを目的とした。

実験：XAFS測定はBL14B2において行った。測定試料は、Sr系M型フェライト SrFe_nO_a 、Sr-La-Co系M型フェライト $\text{Sr}_{1-x}\text{La}_x\text{Fe}_{n-x}\text{Co}_x\text{O}_a$ 、Ca-La-Co系M型フェライト $\text{Ca}_{1-y}\text{La}_y\text{Fe}_{n-x}\text{Co}_x\text{O}_a$ のn、x、yの組成比をパラメータとした96試料について、各系の成分元素Ca、Fe、Co、Sr、LaのK吸収端の透過XAFSを測定した。

結果および考察：図1にCa-La-Co系M型フェライトのCaK吸収端XAFSスペクトルを示す。EXAFS振動がほとんど測定できておらず、4.0-4.1keVのエネルギー領域においてノイズが顕在化しているのがわかる。これは、Ca濃度が微量成分であることに加え、SPring-8のBL14B2では4keV付近のX線強度が弱いためであると考えられる。微量測定に適する蛍光法での可能性、およびCaK吸収端のエネルギー領域をカバーするPF等の他の放射光施設での測定検討を要する。

図2にCa-La-Co系M型フェライトのCoK吸収端XAFSスペクトルを示す。CoK吸収端以前のエネルギー領域にFeK吸収端XAFSによるものと考えられる振動が観察された。このことは、データ処理特にバックグラウンド除去の際に問題となり、今後近似曲線の選定、引き方等で試行検討を要する。その他の成分元素Fe、Sr、Laに関しては問題なく測定できた。

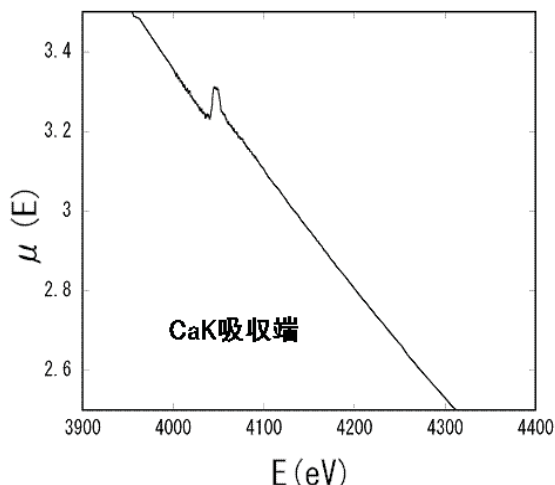


図1. Ca-La-Co系M型フェライトのCaK吸収端XAFS

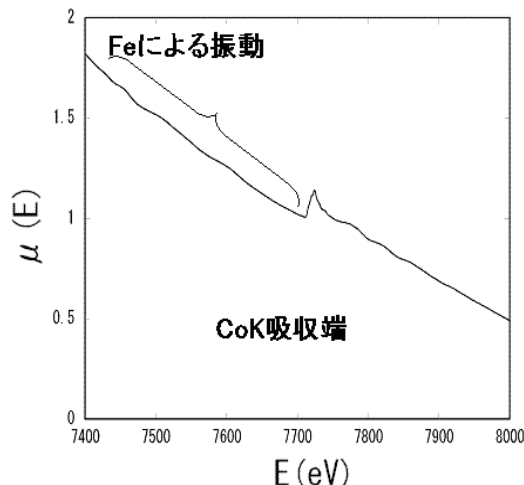


図2. Ca-La-Co系M型フェライトのCoK吸収端XAFS

今回成分元素置換サイトの解析例として、標準試料SrM型フェライトとSr-La-Co系M型フェライトのSrK吸収端EXAFS振動 $k^3\chi(k)$ のフーリエ変換振幅の定性評価を行った。図3にSrK吸収端EXAFS振動 $k^3\chi(k)$ のフーリエ変換結果を示す。標準試料SrM型フェライト($\text{SrFe}_{12}\text{O}_{19}$)のSrK吸収端XAFSのフーリエ変換振幅には、 $R=2\text{-}3\text{\AA}$ の位置に12配位の最近接O(図4参照 Sr、Fe、Oの各元素をSr:緑 Fe:青 O:赤で識別した)によるものと考えられるピークと、 $R=2.9\text{-}3.9\text{\AA}$ の位置に15配位のFe(図4参照)によるものと考えられるピークが観察された。Sr-La-Co系M型フェライトに関しても同様の位置に同様のピークが観察された。以上より、SrM型フェライトとSr-La-Co系M型フェライト中のSrは同じサイト(2dサイト)に置換していると考えられる。

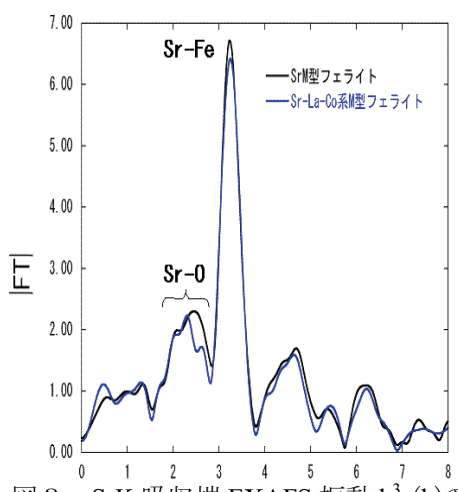


図3. SrK吸収端EXAFS振動 $k^3\chi(k)$ のフーリエ変換

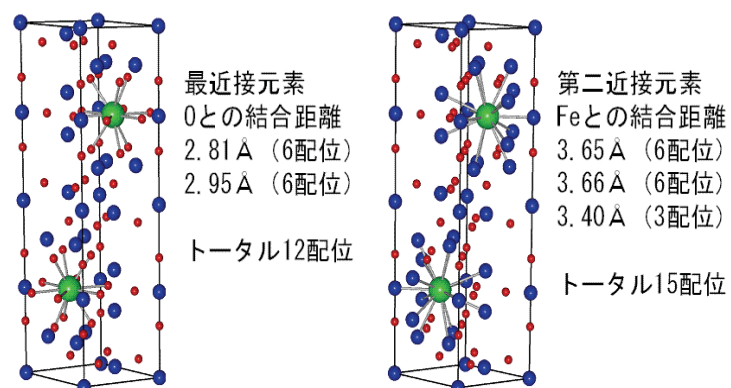


図4. SrM型フェライトの結晶構造

今後、Sr-La-Co 系、Ca-La-Co 系 M 型フェライトの成分元素に関して、EXAFS 振動のカーブフィッティングによる構造パラメータ（配位数、配位原子位置等）精密化を行う予定にしている。

今後の課題：CaK 吸収端の XAFS 測定と Sr-La-Co 系、Ca-La-Co 系 M 型フェライトの成分元素に関して、EXAFS 振動のカーブフィッティングによる構造パラメータ（配位数、配位原子位置等）精密化により局所構造を解析する。

参考文献：

- [1]Y.Ogata, T.Takami and Y.Kubota: "Development of La-Co Substituted Ferrite Magnets", J. Jpn. Soc. Powder Powder Metallurgy, 50(2003)636-641
- [2]Y.Kobayashi, S.Hosokawa, E.Oda and S.Toyota: "Magnetic Properties and Composition of Ca-La-Co M-type Ferrites", J. Jpn. Soc. Powder Powder Metallurgy, 55(2008)541-546